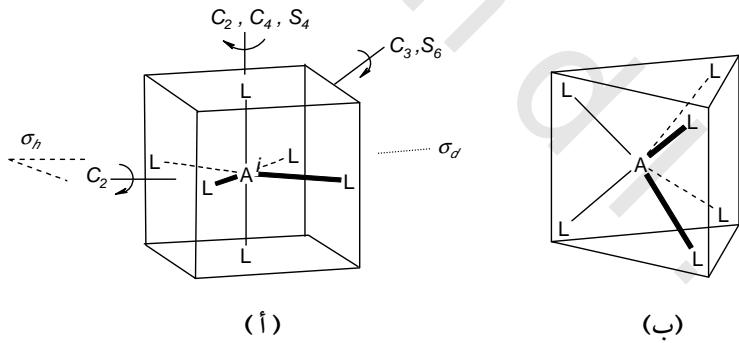


## الفصل التاسع

### المعقدات ثمانية الأوجه

### Octahedral Complexes

يكثُر شيوع المعقدات ذات الذرة المركزية بـ عدد تناصق يساوي ستة لمعظم عناصر الجدول الدوري. هذه المعقدات ذات شكل ثابت غالباً هو ثمانية الأوجه، حيث يظل الهرم المثلثي كبديل نادر، مثل  $\text{WMe}_6$ .



الشكل رقم (٩,١). أشكال بدائلية لمعقدات  $\text{AL}_6$  سداسية التناصق: (أ) ثمانية الأوجه وتطهُر بعض عناصر التماثل المختارة و(ب) الهرم المثلثي.

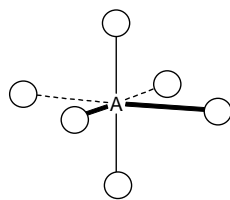
سوف نطبق في هذا الفصل التقنيات الأساسية المستنيرة من الفصول السابقة وذلك لتفسيير بعض السمات الأساسية للمعقدات ثمانية الأوجه، أي دور مدارات  $\sigma_d$  في

الربط في مركبات عناصر المجموعات الرئيسية والبناء الإلكتروني لمعقدات العناصر الانتقالية. إن إدخال العناصر الانتقالية في مسائل الربط سوف يتطلب معرفة كيف تعامل نظرية الزمر مع تماثل مدارات  $\pi$ ، والذي سوف توجه إليه في الجزء ٩.٢.

يمكن تفسير كثير من خواص أصناف الفلزات الانتقالية بواسطة نظرية المجال البلوري البسيطة (ن.م.ب. CFT)، حيث يتم إيجاد طاقات المدارات وشغلها بالكترونات  $\pi$ ، وذلك عن طريقأخذ توجيه مدارات  $\pi$  والمتصلات في الفضاء بعين الاعتبار، أي أن التناقض الإلكترونيستيكي بين المتصلات ذات الشحنة السالبة والإلكترونات المتمرزة على الفلز  $M^{n+}$  هي العوامل الرئيسية. هذا النموذج تبسيط واضح، إذ إن الأصناف ثنائية الأوجه مثل  $[CoCl_6]^{3-}$  لا تتفكك في محاليلها إلى  $Co^{3+}$  و  $Cl^-$ ، وهو السلوك النموذجي للروابط الأيونية. بل إن هذه الصورة تصبح أقل إمكانية عند تطبيقها على الأنظمة عضو الفلزية مثل  $Cr(CO)_6$  والتي تضم متصلات متعدلة. مع ذلك، فإن معظم الاستنتاجات التي يمكن الوصول إليها باستخدام ن.م.ب. صحيحة، بل وتتوفر نقطة انطلاق مفيدة لفهم كيمياء الفلزات الانتقالية. إلا أن هناك ما تفشل فيه – وهو غير مستغرب بسبب بساطة النموذج – والتي يمكن معالجتها بمقاربة م.ج. للربط الأكثر تطوراً، وهي ما يعرّف بنظرية المجال البلوري، وسوف نستعرض ما يستلزم ذلك في هذا الفصل.

#### (٩.١) أ.خ.م.ت. للمعقدات ثنائية الأوجه

بادئ ذي بدء، دعنا نتأمل المتصلات ذات الارتباط  $\sigma$  بالذرة المركزية. ومهمتنا ستكون استخدام مدارات  $\delta$  لتمثيل أي متصلة بروابط  $\sigma$  وذلك لإيجاد رموز التماثل لـ أ.خ.م.ت. للمتصلات الستة تحت تماثل  $O_h$  (انظر موضع عناصر التماثل الرئيسي في الشكل رقم ٩.١):

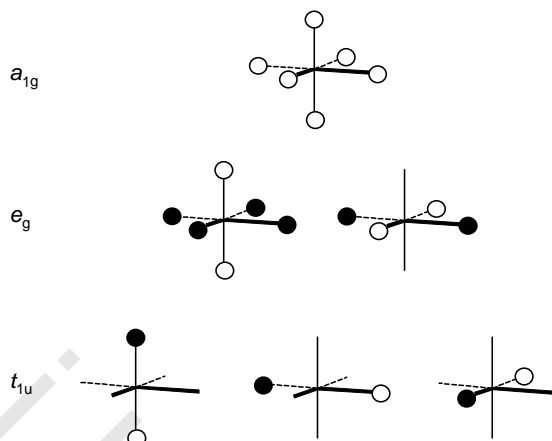


$O_h$	$E$	$8C_3$	$6C_2$	$6C_4$	$3C_2^a$	$i$	$6S_4$	$8S_6$	$3\sigma_h$	$6\sigma_d$
$\Gamma_{6L\sigma}$	6	0	0	2	2	0	0	0	4	2

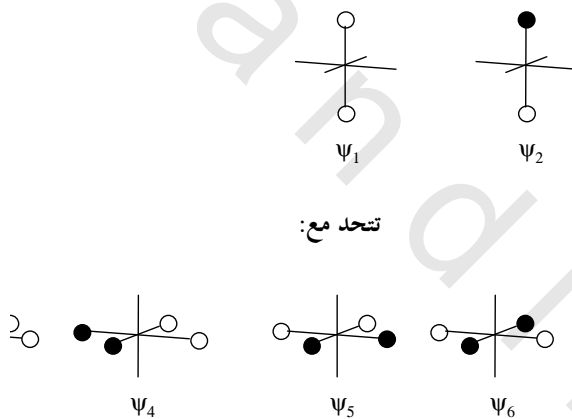
يُختزل ذلك إلى الحاصل التالي :

$$\Gamma_{6L\sigma} = a_{1g} + e_g + t_{1u}$$

وكما نتوقع، فإن لدينا رموزًا تماثلية تصف ستة اتحادات ممكنة لستة مدارات للمتصلات. تخبرنا الرموز بأن ا.خ.م.ت. الستة تجتمع في مجموعة متساوية من ثلاثة ( $t_{1u}$ )، وأخرى في مجموعة متساوية من اثنين ( $e_g$ ) واتحاد آخر مختلف ( $a_{1g}$ ). تظهر هذه الستة ا.خ.م.ت. في الشكل رقم (٩.٢). يمكن الحصول على وصف رياضي دقيق ل.أ.خ.م.ت. باستخدام ما يُعرف بعماملات الإسقاط، وتجد مقدمة أساسية لهذه التقنية في الملحق ١. على أي حال، يمكن إدراك أساس ا.خ.م.ت. هذه بشكل عام بأسلوب وصفي بالنظر إلى اتحادات ا.خ.م.ت. الاثنين واللذين يصفان الترتيب الخططي لزوج من المتصلات ( $L_2$ ) مع الترتيب الحلقي لأربعة متصلات في المستوى ( $L_4$ )، كلاهما قد سبق وصفه في الفصول السابقة.



الشكل رقم (٩,٢). ا.خ.م.ت. للمتصلات المرتبطة بروابط  $\sigma$  في المعقد ثانٍ الوجه.

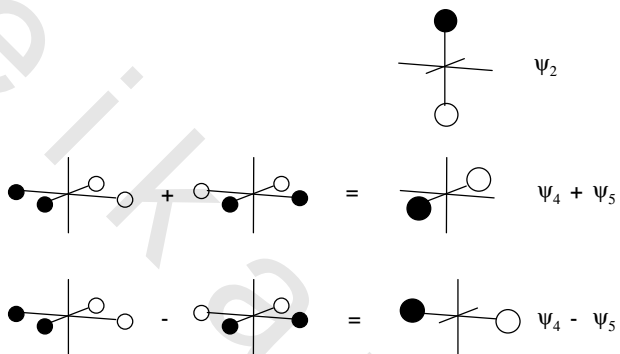


تشهد مع:

الشكل رقم (٩,٣). ا.خ.م.ت. للمتصلات في معقد ثانٍ الأوجه ناتج عن اتحاد ا.خ.م.ت. لكل من  $L_4$  و  $L_2$ .

أولاً، لدى  $\Psi_2$  مستوى عقدي أفقي وبالتالي لا يتدخل مع أي ا.خ.م.ت. من  $\Psi_3$  إلى  $\Psi_6$ ؛ سيكون هناك دائماً مقادير متساوية من الرابط وعكس الرابط فوق وتحت

المستوى الأفقي. إلا أن  $\psi_1$  يستطيع أن يتدخل في - الطور أو خارج - الطور مع  $\psi_3$ ، وكلاهما ليس لديه أي عقد، وذلك لتوليد  $a_{Ig}(\psi_1 + \psi_3)$  وواحد من زوج  $e_g$  لـ  $L_6$ . ا.خ.م.ت. ( $\psi_1 - \psi_3$ ). ينتج  $\psi_6$  ، الذي لديه عقدتان ولا يتوافق تماثله مع أي من ا.خ.م.ت.  $\psi_1$  أو  $\psi_2$  (لديها عقدة واحدة فقط) ، المكون الآخر من زوج  $e_g$ .



الشكل رقم (٤,٩). منشأ ا.خ.م.ت. ذات التماثل  $t_{2g}$  لمجموعة من ستة متصلات ثنائية الأوجه.

رغم أن الشكل رقم (٩,٣) لا يوضح ذلك، إلا أن جميع ا.خ.م.ت.  $\psi_2$ ،  $\psi_4$  و  $\psi_5$  متكافئة وتكون المجموعة  $t_{2g}$  من ا.خ.م.ت. (الشكل رقم ٩,٤). يبدو الاثنان الأخيران مختلفين، إلا أنه يمكن استبدال زوج متساوٍ متكافئ تماثلياً مثل  $\psi_4$  و  $\psi_5$  بزوج مدارات "مجموع وفرق".

#### (٩,٢) رموز تماثل مدارات $d$

قبل أن نتأمل الرابط في معقدات الفلزات الانتقالية ثنائية الأوجه، يلزمنا التعرف أكثر على رموز التماثل للخمسة مدارات تحت تماثل  $O_h$ . من دراستك لمقررات أخرى في الكيمياء غير العضوية، لا بد أنك على علم بأنه في مجال ثانوي الأوجه (أي مجموعة

ثمانية الأوجه من المتصلات) يمكن لمدارات  $d$  أن تأخذ مجموعة متساوية من ثلاث ( $t_{2g}$ ) وأخرى من اثنين ( $e_g$ ). يمكنك إثبات ذلك لنفسك في التمرين التالي :

سؤال تقييم ذاتي ٩١: أكمل التمثيلات القابلة للاختزال التالية ثم بين أن مدارات  $d$  الخمسة تأخذ الرموز  $t_{2g}$  و  $e_g$  تحت تماثل  $O_h$ . احسب  $1, 0, -1$  إذا بقي مدار  $d$  في موقعه، انزاح أو انعكس تحت تأثير عملية ما.

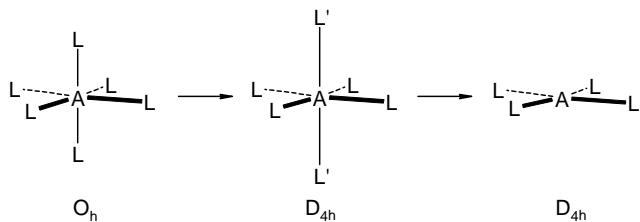
$O_h$	$E$	$8C_3$	$6C_2$	$6C_4$	$3C_2^a$	$i$	$6S_4$	$8S_6$	$3\sigma_h$	$6\sigma_d$
$\Gamma_d$ مدارات		-1					-1	-1		

جميع إجابات أسئلة التقييم الذاتي في الملحق .٣

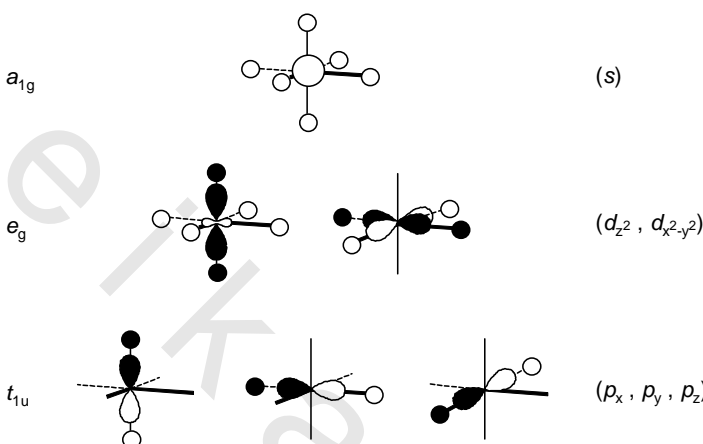
بالرجوع إلى جدول صفات (الملحق ٥)، يكشف لنا بأن الاتجادات الثنائية  $xz, xy, xz$  المدرجة في الصف نفسه تعود للرموز  $T_{2g}, 2z^2-x^2-y^2$  و تلك الثنائية  $x^2-y^2$  المدرجة في الصف نفسه تعود إلى  $E_g$ . أولاً، يثبت ذلك أن  $d_{xz}, d_{xy}$  و  $d_y$  تكون المجموعة  $t_{2g}$  وأن  $d_{x^2-y^2}$  تكون الزوج  $e_g$ ؛ ثانياً، يكشف ذلك أيضاً الاختصار التالي في إسناد الرموز التماثلية :

- لمدارات  $d$  التماثل ذاته المقابل للدوال الثنائية ويكون قراءته مباشرة من جدول الصفات.

سؤال تقييم ذاتي ٩٢ : يمكن أن تتشوه معقدات الفلزات الانتقالية ثمانية الأوجه بما يؤدي بالنتهاية إلى معقد مربع مستوي. كيف تغير تماثلات مدارات  $d$  تحت هذا التشوه؟



يمكنا الآن تلخيص ما توصلنا إليه في الأجزاء ٩,١ و ٩,٢ برسم جميع التواقيع بين ا.خ.م.ت. للمتصلات و م.ذ. للفلز معقد ثانٍ للأوجه (الشكل رقم ٩,٥).



الشكل رقم (٩,٥). مدارات  $d$  وتوافقها التماثلي مع ا.خ.م.ت. للمتصلات.

### (٩,٣) معقدات القطاع P ثنائية الأوجه

من المعروف أن كيمياء عناصر الصف الثاني (  $\text{Ne} - \text{Li}$  ) تختلف عن تلك للصفوف اللاحقة من قطاع P. وأحد المظاهر الشائعة أن عناصر الصف الثاني نادراً ما تظهر أعداد تناسق تفوق الأربع، في حين تبدي عناصر الصحف اللاحقة أعداداً أكبر تصل إلى 12 لعناصر معينة). أحد التفسيرات القديمة لذلك هي وصف كل رابطة بزوج من الإلكترونات وبالتالي فإن الذرة المركزية يلزمها أكثر من المدارات الأربع المتاحة للربط إذا كان لا بد من الوصول إلى أعداد تناسق أكبر من أربعة. بالنسبة لعناصر الصف الثاني، فإن مدارات  $2s$  و  $2p$  فقط هي المتاحة، لذا يكون عدد التناسق الأقصى أربعة. ومن الصف الثالث فصاعداً (  $\text{Na}$  )، تصبح مدارات  $d$  متاحة، وبالتالي تكون أعداد التناسق الكبيرة ممكنة. مع ذلك، يزيد التناسق عن الأربع لعناصر الصف الثاني

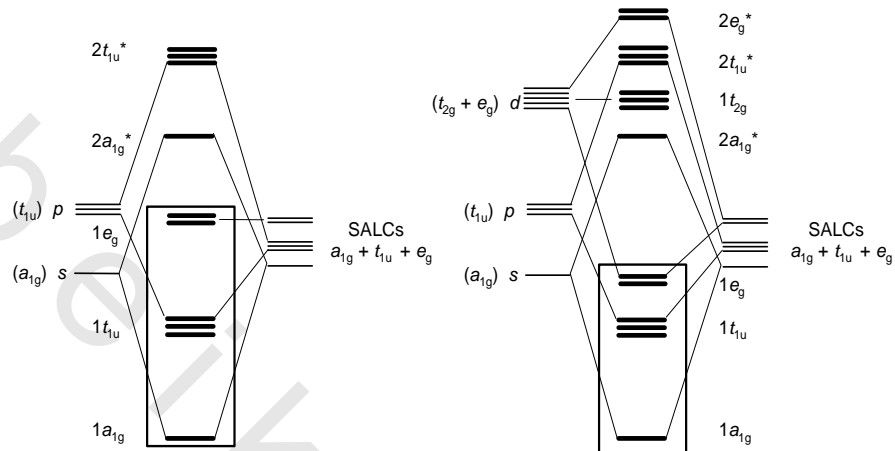
أحياناً، كما أن طاقة مدارات  $d$  تكون أعلى كثيراً من تلك لمدارات  $s$  وم نفس العدد الكمي الرئيسي.

إن مسألة مشاركة مدارات  $d$  بشكل عام في كيمياء مركبات عناصر المجموعات الرئيسية قابلة للنقاش، لذا سنكرّس هذا الجزء لوصف الرابط في مركبات عناصر المجموعات الرئيسية ثمانية الأوجه بمشاركة مدارات  $d$  وبدونها. يصطدم هذا التحليل بمفهوم التكافؤ الفائق، عندما يكون عنصر مجموعة رئيسية مركبات تفوق قاعدة الثمانية لإلكترونات التكافؤ؛ تقع الأصناف مثل  $\text{SF}_6$  و  $\text{PF}_5$  في هذه الفئة.

نعرف الآن تماماً ما هو تماثل ا.خ.م.ت. للستة متصلات تحت تماثل  $\text{O}_{\text{h}}$  ( $a_{1g}$ ,  $t_{1u}$ ,  $e_g$ ) كما نعرف كذلك رموز التماض لمدارات  $d$  على النزرة المركزية ( $t_{2g}$ ,  $e_g$ ). ولإتمام جميع المعلومات المطلوبة، يمكن قراءة رموز تماثل مدارات  $s$  وم للنزرة المركزية مباشرة من جدول صفات  $\text{O}_{\text{h}}$ :

$$s : a_{1g} \quad p_x, p_y, p_z : t_{1u}$$

يتأمل عقد من الصفة الثالث، مثلاً  $[\text{AlCl}_6]^{3-}$  أو  $\text{SF}_6$ ، حيث تقع مدارات  $3s$  و  $3p$  عند طاقة أقل من  $3d$ ، وبدمج ا.خ.م.ت. للمتصلات وم.ذ. للنزرة المركزية والتي لها نفس التماض تولد لدينا مخططات م.ج. التي تظهر في الشكل رقم (٩.٦).

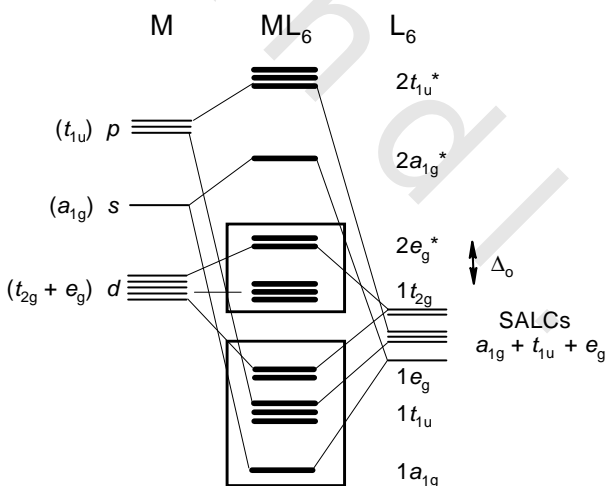


الشكل رقم (٩,٦). مخططات م.ج. لعقد ثاني الأوجه بروابط  $\sigma$  لعنصر مجموعة رئيسية، (أ) بدون مشاركة مدارات  $d$  و(ب) بمشاركة مدارات  $d$ .

بدونأخذ مدارات  $d$  بالاعتبار، يحتل 12 إلكترون تكافؤ (ستة أزواج إلكترونية) م.ج. الرابطة  $a_{1g}$ ،  $t_{1u}$  وغير الرابطة  $e_g$ ؛ لا حاجة لاستخدام مدارات  $d$  لتفسيير الرابط إذن (الشكل رقم ٩,٦أ). إلا أنه في حال استخدام مدارات  $d$  يتحد زوج  $e_g$  ( $d_{x^2-y^2}$ ) مع الزوج  $e_g$  من ا.خ.م.ت. لإنتاج أزواج م.ج. رابطة وعكس رابطة (الشكل رقم ٩,٦ب). والنتيجة الرئيسية لذلك هي أن الزوج  $e_g$  غير الرابط من م.ج. يأخذ صفة الرابط. لذا، ورغم عدم الحاجة لمدارات  $d$  في تفسير أعداد التناسق الأكبر من أربعة لمركبات عناصر المجموعات الرئيسية (من هنا ما نلاحظه بالنسبة إلى الليثيوم مثلاً، والذي يمكنه أن يتخذ أعداد تناسق تصل إلى سبعة)، فإن مشاركتها تزيد من الثبات الكلي للصنف المعنى، على أن تكون فجوة طاقة  $p-d$  صغيرة بما فيه الكفاية.

#### (٤، ٩) معدات الفلزات الانتقالية ثنائية الأوجه

إذا تأملنا المتصلات المرتبطة بروابط  $\sigma$  فقط مع الفلز الانتقالى المركزي ، فإن مخطط م.ج. لعقد الفلز الانتقالى ثانى الأوجه قريب من الشكل رقم (٩.٦ب)، والتعديل الوحيد هو أن مدارات  $d$  الآن أقل طاقة من مدارات  $s$  و  $p$  الشكل رقم (٩.٧). تملأ الإلكترونات الثنوى عشر التابعة للمتصلات (كل منها مانح لإلكترونين) م.ج.  $1t_{1u}$ ،  $1a_{1g}$ ،  $1e_g$ ، بالضبط مثل نظائرها من عناصر المجموعات الرئيسية. تحتل إلكترونات  $d$  للشطر الأوجه. في الواقع، هذا الجزء الأخير من مخطط م.ج. هو نفس الصورة (كيفياً) الناتجة عن ن.م.ب.، باستثناء أن  $e_g$  هو زوج مدارات عكس رابط بطريقة م.ج. في حين لا يوجد هذا التمييز في تحليل ن.م.ب. المبني على الإلكترونستاتيكية.



الشكل رقم (٩.٧). مخطط م.ج. لعقد ثانى الأوجه لفلز انتقالى، بفرض متصلات مرتبطة  $\sigma$  فقط.

سؤال تقييم ذاتي ٩.٣ : استنتج مخطط م.ج. لعقد فلز انتقالى رباعي الأوجه  $ML_4$ ، وذلك باعتبار الرابط  $\sigma$  فقط. اربط المخطط مع ن.م.ب.

### (٩,٥) الرابط $\pi$ والسلسلة الكيميائية الطيفية

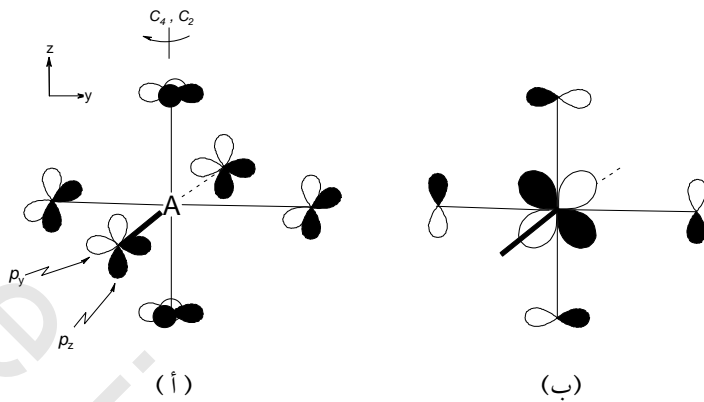
السلسلة الكيميائية الطيفية هي قائمة من المتصلات مبنية على قيمة ما تسببه من انقسام في المجال البلوري،  $\Delta_0$  (الشكل رقم ٩,٧). تعتمد هذه القائمة كلياً على بيانات الأطيف المرئية و فوق البنفسجية؛ ولا يوجد لها أساس نظري. ما يلي جزء يمثل السلسلة يتضمن المتصلات الشائعة :



ليست هذه القائمة أبداً ما كنا نتوقعه من ن.م.ب.، وهي نظرية قائمة على التنافر الإلكتروني: فأكبر انقسامات أتت من متصلات متعادلة مثل CO، في حين جاءت انقسامات صغيرة من متصلات عالية الكهروسائلية مثل أيونات الهاليدات. يمكن إيجاد تفسير لهذه السلسلة في نظرية المجال البلوري، بتحليل أكثر تطوراً للربط في معقدات الفلزات الانتقالية مبني على مقاربة م.ج.. يتطلب هذا التحليل منا اعتبار تأثيرات الرابط  $\pi$  بالإضافة إلى تداخلات  $\sigma$  الموضحة في الجزء ٩,٤.

يتاح اثنا عشر مدار  $-p$ ، اثنان لكل متصلة، للربط  $\pi$  مع مدارات  $-d$  على الفلز الانتقالي (الشكل رقم ٩,٨). يمكن استنتاج الرموز التماثلية لاثني عشر ا.خ.م.ت. تصف اتحادات مدارات  $-p$  للمتصلات بواسطة نظرية الزمر:

$\text{O}_h$	$E$	$8C_3$	$6C_2$	$6C_4$	$3C_2^a$	$i$	$6S_4$	$8S_6$	$3\sigma_h$	$6\sigma_d$
$\Gamma_{12L\pi}$	12	0	0	0	-4	0	0	0	0	0



الشكل رقم (٩,٨). (أ) مدارات -  $p$  للmutations القادرة على تداخلات  $\pi$  مع الفلز و(ب) مثال لأحد تداخلات  $\pi$  متصلة - فلز ذات التماثل  $t_{2g}$ .

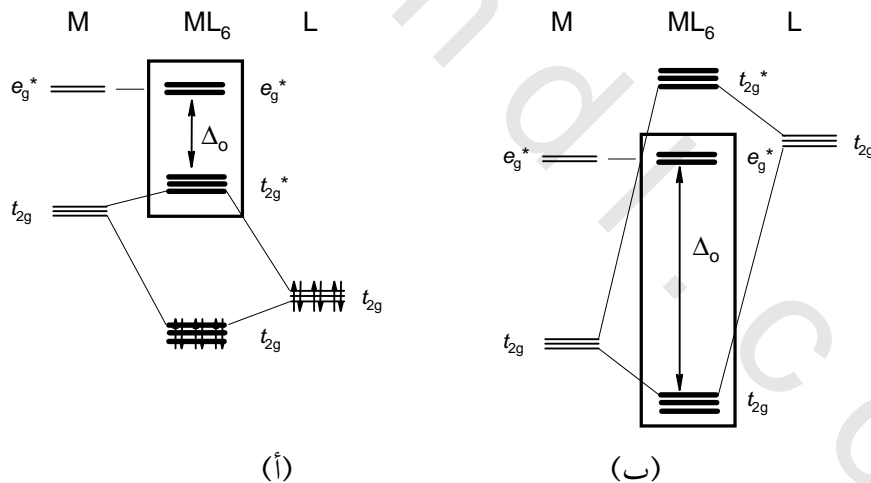
للتزاح المدارات الاثنا عشر تحت E، في حين تزاح كلها تحت تأثير العمليات الباقية عدا  $C_2$  ( $= C_4^2$ ) و  $S_h$ ، والتي تحتاج لمزيد من التعليق عليها. أما بالنسبة لـ  $C_2$ ، فتعكس الأربعه مدارات الواقعه على المحور (-1) وتبقى جميع المدارات الأخرى مكانها. الوضع أكثر تعقيداً بالنسبة لـ  $S_h$  وسوف نركز فقط على مستوى المرأة الأفقي  $xy$ . تزاح المدارات الأربعه الواقعه على امتداد  $z$  تحت  $S_h$  هذا وتحسب 0. أربعة مدارات من الثمانية المرتبطة بالمتصلات الأربعه في المستوى  $xy$  تقع في مستوى المرأة ولا تزاح (1) في حين تتعكس الأربعه الأخرى (رأسية في الاتجاه  $z$ ) (-1) وتصبح المساهمة الكلية 0. يمكن تحويل التمثيلات القابله للاختزال أعلاه إلى مجموعة التمثيلات غير القابله للاختزال التالية:

$$\Gamma_{12L\pi} = t_{1g} + t_{2g} + t_{1u} + t_{2u}$$

لدى  $t_{2g}$  فقط من بين هذه المجموعة أثر ذو أهمية على مخطط م.ج.. يظهر واحد من هذه التداخلات الثلاث في الشكل رقم (٩.٨ ب)؛ يقع تداخلان مماثلان آخران في المستويات  $ZX$  و  $YX$ . للمجموعة  $t_{1u}$  تماثل يتوافق مع مدارات  $-p$  للفلز، ولكن فرق الطاقة

كبير لدرجة أن التداخل يصبح ضئيلاً مما يسمح له فقط بخنق طاقة مدارات  $M\cdot J$ .  $t_{Iu}$  الرابطة. لا تملك  $\pi$ -أ.خ.م.ت.  $t_{Ig}$  و  $t_{2u}$  أي توافق وهي غير رابطة.

يعتمد أثر خلط مدارات  $d$  ذات التماثل  $t_{2g}$  ( $d_{yz}$ ,  $d_{xz}$ ,  $d_{xy}$ ) مع  $\pi$ -أ.خ.م.ت. ذات التماثل نفسه على الطاقات النسبية لمجموعتي المدارات. فإذا كانت أ.خ.م.ت. أقل طاقة من  $M\cdot J$ . للفلز وهو ما نراه عندما تكون مدارات  $p$  على المتصلات ممتلئة، فإن مدارات  $t_{2g}$   $M\cdot J$ . الرابطة تتمرکز حول المتصلات ومتملة؛ أما  $t_{2g}^*$   $M\cdot J$ . عكس - الرابطة فتكون متمركزة حول الفلز. يرفع ذلك من طاقة  $t_{2g}$   $M\cdot J$ . للفلز بشكل فعال ويقلل من مقدار  $\Delta$  (الشكل رقم ٩,٩). تسمى المتصلات التي تسلك هذا السلوك مانحة  $\pi$ ، حيث تمنح زوجاً من الإلكترونات عند تكوين الرابطة  $\pi$ . يميز ذلك أيونات الهايدرات، والتي تقع أزواجها الإلكترونية الحرة في مدارات  $p$  الموجهة توجيهها مناسبًا.



الشكل رقم (٩,٩). أثر الرابط  $\pi$ - على  $\Delta_0$  (أ) عندما تكون المتصلات مانحة  $\pi$  (ب) عندما تكون المتصلات مستقبلة  $\pi$ . ظهر المستويات المدارات التي تشغله إلكترونات "d".

بالمقابل، عندما تملك المتصلات مداراً فارغاً قادرًا على استقبال إلكترونات من الفلز عن تكوين رابطة  $\pi$  فإنها تسمى مستقبلة  $\pi$ . المثال الشائع لمتصلة مستقبلة  $\pi$  هو CO، حيث يعود المدار الفارغ  $\pi^*$  إلى الرابطة C-O، وهو كمدار عكس - رابط، طاقته أعلى من مجموعة  $t_{2g}$  للفلز. يتمركز  $t_{2g}$  بشكل كبير حول الفلز  $\pi^*$  والذي يتكون عندما تختلط أ.خ.م.ت. و م.ذ.، في حين يقترب  $t_{2g}^*$  أكثر من مدارات  $\pi^*$  للمتصلة. يزيد أثر هذا التداخل من قيمة  $\Delta$  (الشكل رقم ٩.٩ ب). وبعيدًا عن الاعتماد على التداخلات الإلكتروستاتيكية، فالسلسلة الكيميائية الطيفية ما هي إلا انعكاس لصفة مانح  $\pi/\pi^*$  للمتصلات.

#### (٩.٦) الخلاصة

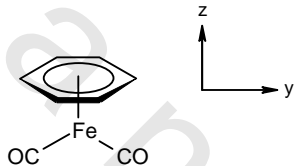
- لدى أ.خ.م.ت. للمتصلات الستة التي تصنف الترتيب ثانوي الأوجه للمتصلات التماضي :  $t_{lu} + e_g + a_{lg}$
- لدى مدارات  $d$ - نفس تماثل الدوال الثنائية المقابلة والتي يمكن قراءتها من جدول الصفات.
- يمكن لعنصر مجموعة رئيسية تكوين معقدات ثانية الأوجه دون استخدام مدارات  $d$ - على الذرة المركزية ؛ أ.خ.م.ت. للمتصلة  $e_g$  وغير رابطة.
- إذا كانت طاقة مدارات  $d$ - منخفضة بما فيه الكفاية لاستخدامها في الربط في مركب ثانوي الأوجه لعنصر مجموعة رئيسية، فإنها تحسن الربط بجعل  $e_g$  غير الرابطة أ.خ.م.ت. للمتصلة رابطاً في صفتة (يطابق تماثل  $d_{z^2}$  و  $d_{x^2-y^2}$  مع  $e_g$ ).
- انقسام المجال البلوري ( $\Delta$ ) لمعقدات العناصر الانتقالية هو الفرق بين م.ج.  $t_{2g}$  و  $e_g^*$ .
- يتطلب الربط  $\pi$  بين المتصلات والفلز الانتقالـي مدارات ذات تماثل  $t_{2g}$  على المركزين ويؤدي إلى خفض  $\Delta$  إذا كانت المتصلة مانح  $\pi$ .

- يزيد الرابط  $\pi$  بين المتصلات والفلز الانتقالى من  $\Delta$  إذا كانت المتصلة مستقبلة  $\pi$ .

### مسائل

جميع إجابات المسائل التي تحمل العلامة \* في الملحق ٤

- ١ - ارسم مخططاً لتدخل المدارات يصف الرابط بين مدارات  $d$  على الحديد وروابط  $\pi$  في البنزين في المعقد  $(C_6H_6)Fe(CO)_2$ ؛ إفرض التماضي المحلي  $C_{6v}$  للجزء  $(C_6H_6)Fe$  من الجزيء.



لعمل ذلك يجب عليك:

- تعين رموز التماضي لـ أ.خ.م.ت.  $(p_z)$  على البنزين.
- أنسد هذه أ.خ.م.ت. الستة للتتربيات العقدية لـ  $H_6$  الحلقي (انظر الشكل رقم ٨,٨ والمأسالة ٦ ، الفصل الثامن).
- حدد رموز التماضي لمدارات  $d$  على الحديد.
- أوجد توافقاً بين أ.خ.م.ت. ومدارات  $d$  ذات التماضي نفسه على الفلز.
- استنتاج مخطط م.ج. لمعقد فلز انتقالى  $ML_4$  مربع مستوي ( $D_{4h}$ ) بفرض الرابط  $\sigma$  فقط (انظر الشكل رقم ٥,١ لموقع عناصر التماضي) :
- عّين رموز التماضي لـ أ.خ.م.ت. للمتصلات الأربع.

• عَيْنِ رموز التماشِل لمدارات  $-s$  ،  $-p$  و  $-d$ .

• قم بـ توليد مخطط م.ج. آخذًا بالاعتبار الطاقات النسبية لـ م.ذ..

٣- ما الفرق بين طاقات م.ج. النسبية التي تحتوي أساساً إلكترونات  $-d$  للفلز في مخطط م.ج. لعقد فلز انتقالى مربع - مستوى  $(D_{4h})$  (السؤال الثاني) وتلك المشتقة بواسطة ن.م.ب.؟

عَدَّل مخطط م.ج. من السؤال 2 باعتبار تداخلات  $\pi$  بين المتصلات الأربع والفلز. يلزمك تعين رموز تماشِل أ.خ.م.ت. الناتجة من ثمانِي مدارات  $-p$  موجهة لتكوين رابطة  $\pi$  مع الفلز.

٤- يمكن تثبيت البيوتادين الحلقي بربطه بفلز انتقالى ، كما في العقد  $(C_4H_4)$ . بفرض التماشِل المحلي للجزء  $C_{4v}$  للجزء  $(C_4H_4)Fe(CO)_3$  من الجزيء:

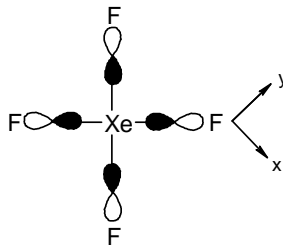
• استنتج رموز التماشِل لأربعة أ.خ.م.ت. على  $C_{4v}H_4$  ( $p_z$ ).

• عرف رموز تماشِل م.ذ. على الحديد تحت تماشِل  $C_{4v}$ .

• زاوِج بين م.ذ. و أ.خ.م.ت. ذات التماشِل نفسه ثم ادعِم هذا التوافق برسم الاتحادات ذات العلاقة.

\*٥- ما هي رموز تماشِل الفلور المتاحة للربط  $\sigma$  في  $XeF_4$  ؟ انظر الشكل

رقم ٥.١ لموقع عناصر التماشِل؟



ما هي رموز تماشِل مدارات التكافؤ  $-s$  ،  $-p$  و  $-d$  على الزينون؟

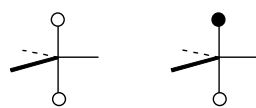
اجعل النماذج العقدية ملائمة لرسم أربع ا.خ.م.ت. للفلور في  $H_4$  الحلقي ، وبزاوجة الرموز التماضية بين ا.خ.م.ت. و م.ذ. ارسم أربع م.ج. رابطة ٥ لـ  $XeF_4$ .

٦- يمكن معالجة الربط -٥ في معقدات  $Al_5$  خماسية - التناسق فائقة التكافؤ ، مثل  $PCl_5$ ، بنفس الطريقة الموضحة في المعقدات ثنائية الأوجه دون الحاجة لدخول مدارات -d. وعلاوة على ذلك ، ففي معقدات الهرم الثلاثي المزدوج من هذا النوع نجد أنه قد تأكد أن الرابطتين المحوريتين أطول قليلاً من الثلاث المدارية.

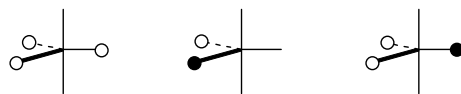
قدم تفسيراً لهذه الملاحظات وذلك بإتمام خطط م.ج. الموضح سابقاً، أضاف رموز التماضي إلى م.ذ. على A و ا.خ.م.ت. للمتصلات الخمس ، ثم بزاوجة المدارات من نفس التماضي قم بتوليد م.ج..

لابد أن :

- تعين رموز تماضي م.ذ. لمدارات -d و -p على الذرة المركزية (A).
- تعين رموز تماضي ا.خ.م.ت. للمتصلات الخمس.
- تُرسم ا.خ.م.ت. الثلاث عن طريق اتحاد ا.خ.م.ت. المحورية والمدارية متى أمكن ، والموضحة أدناه :



تنحد مع



(تلخيص: لدى الاتحادات خارج - الطور للمدارات المحوรية مستوى عقدي ينطبق مع ا.خ.م.ت. المدارية؛ يمكن تحديد ا.خ.م.ت. ذات التماثل  $a$  أو  $b$  بالطريقة المعهودة باحتساب  $1, 0, -1$  لأثر كل عملية تماثلية).

- قم بوضع البيانات على مخطط م.ج. (أدنى) وأضف عشرة إلكترونات التابعة لروابط -5 الخمسة.
- احسب متوسط رتبة الرابطة لروابط المحوير والمدارية ومن ثم تفسر السبب في أن الروابط المحويرية أطول قليلاً من المدارية.
- (تلخيص: لكل م.ج.، هل تعود لروابط المحويرية فقط، أم للمدارية فقط، أم لكليهما؟)

